

物 理 学

(農工科各專業用)

物 理 教 研 組 編

1961.3

上 册

沈陽農學院

目 录

电学基础及其应用

第一編 电学基础	1
第一章 静电	1
§ 1—1 电感强度 电通量 奥高定理及其应用	1
§ 1—2 电位	6
§ 1—3 电位与场强的关系	8
§ 1—4 电介质 电极化现象 表面电荷	9
§ 1—5 压电现象和焦电现象	12
§ 1—6 电容	13
§ 1—7 电场的能量	14
第二章 电流与磁场	18
§ 2—1 磁场 磁场对电流的作用力 磁感应强度 磁场强度	18
§ 2—2 匀强磁场对平面载流线圈的作用	21
§ 2—3 畢奥—沙伐—拉普拉斯定律	22
§ 2—4 平行电流间的相互作用力 绝对电磁制单位	26
第三章 电磁感应	28
§ 3—1 法拉第电磁感应定律	28
§ 3—2 电磁感应现象和电子理论的关系	30
§ 3—3 在磁场中轉动的线圈中的感应电动势和感应电流	31
§ 3—4 自感应	32
§ 3—5 互感应	33
§ 3—6 磁场的能量	35
§ 3—7 电磁量的单位制度	37
§ 3—8 交流电	39
第二編 无线电	42
第一章 电子管	42
§ 1—1 热电子发射及电子管的构造	42
§ 1—2 二极管 整流器	43
§ 1—3 滤波器	46
§ 1—4 三极管 三极管的特性曲线及三参数	49
§ 1—5 四极管 多极管 电子注管	52
第二章 放大	55
§ 2—1 电子管放大器及其分类	55
§ 2—2 三极管的放大作用及其等效电路	57

§ 2—3 三極管的动态特性曲綫与畸变	60
§ 2—4 三極管功率放大器	62
§ 2—5 多級放大器	65
§ 2—6 推挽式放大器	70
§ 2—7 射頻放大器	73
第三章 振盪	79
§ 3—1 电磁振盪基礎	79
§ 3—2 三極管振盪器的工作原理	83
§ 3—3 常用調諧振盪器的电路分析	85
第四章 調制及檢波	89
§ 4—1 調幅原理及电路	89
§ 4—2 檢波(反調制)	90
第三編 电子光学基礎	93
第一章 电子光学初步介紹	93
§ 1—1 靜电場和磁場对帶电粒子的作用	93
§ 1—2 均匀电場与磁場对帶电粒子引起的偏轉	94
§ 1—3 均匀磁場对电子的聚焦作用	96
§ 1—4 电子光学的折射率	98
第二章 电子透鏡	100
§ 2—1 电子光学系統	100
§ 2—2 靜电透鏡	100
§ 2—3 磁透鏡	102
第三章 电子光学的应用	104
§ 3—1 电子显微鏡的作用原理	104
§ 3—2 磁电子显微鏡	105
§ 3—3 电子显微鏡的分辨本領及其应用	106

第一編 电学基础

第一章 靜 電

§ 1-1 电感强度 电通量 奥高定理及其应用

我們已知在电介系数为 ϵ 的电介質中。相距为 r 的兩個(电量为 q_1 和 q_2 的)點电荷間的靜电力 f ，按庫侖定律为

$$f = \frac{q_1 q_2}{\epsilon r^2} \quad (1)$$

我們也知道电場中某點的電場强度 E 为單位正电荷在該點所受的靜电力，即

$$\vec{E} = \frac{\vec{f}}{q_0} \quad (2)$$

此处 f 为試驗电荷 q_0 所受的靜电力。如电場由一个电量为 q 的电荷產生，則 $f = qq_0/\epsilon r^2$ ，从而电場强度的大小为

$$E = \frac{q}{\epsilon r^2} \quad (3)$$

如电場由电量为 $q_1, q_2 \dots q_n$ 的 n 个點电荷所產生的，則在某點的总电場强度 \vec{E} 按疊加原理为：

$$\vec{E} = \vec{E}_1 + \vec{E}_2 + \dots + \vec{E}_n = \frac{q_1}{\epsilon r_1^3} \vec{r}_1 + \frac{q_2}{\epsilon r_2^3} \vec{r}_2 + \dots + \frac{q_n}{\epsilon r_n^3} \vec{r}_n \quad (4)$$

此处 $\vec{r}_1, \vec{r}_2, \dots, \vec{r}_n$ 分别为 n 个點电荷到某點的距离矢量。

(圖 1) 點电荷系在某點所產生的电場强度

現在再介紹一个很重要的靜电学物理量如下：

电感强度 由點电荷系場强公式可知，在无限大均匀电介質中，任一帶电系統產生在給定點的場 E 强除和構成这帶电系統的电荷分布有关外，也和电介質有关，即 E 的大小和电介質的介电系数 ϵ 成反比。如果我們引入一个叫做**电感强度**的物理量，可有不少方便。电感强度也称电位移，它也是一个矢量，用符号 \vec{D} (简称 D 矢量)表示，它的定义如下：

在任何电介质或真空中，某一点的电感强度 \vec{D} 等于这点的电场强度和介电系数 ϵ 的乘积，即

$$\vec{D} = \epsilon \vec{E}_0. \quad (5)$$

由此可见，在同一点上，电感强度 \vec{D} 和电场强度 \vec{E} 是同方向的，而 \vec{D} 的大小是 \vec{E} 的大小的 ϵ 倍。在静电系单位制中；因真空中 $\epsilon=1$ ，所以在真空中 \vec{D} 和 \vec{E} 在数值上相等。

在静电系单位制中，如果真空中某点的场强为1[静电系场强单位]，则该点的电感强度规定为1[静电系电感强度单位]。在实用制中，它的单位为[库仑][米]⁻²，二者之间有下列的关系：

$$1 \text{ [库仑][米]}^{-2} = 12\pi \times 10^9, \text{ [静电系电感强度单位]}.$$

根据上述定义，可知在无限大均匀电介质中，点电荷 q_1 产生在离开它的距离为 r_1 处的电感强度 \vec{D}_1 为

$$\vec{D}_1 = \epsilon \vec{E}_1 = \frac{q_1}{r_1^2} \vec{r}_1.$$

点电荷系 q_1, q_2, \dots, q_n 产生在p点的电感强度为

$$\begin{aligned} \vec{D} &= \epsilon \vec{E} = \epsilon \vec{E}_1 + \epsilon \vec{E}_2 + \dots + \epsilon \vec{E}_n \\ &= \vec{D}_1 + \vec{D}_2 + \dots + \vec{D}_n \\ &= \frac{q_1}{r_1^2} \vec{r}_1 + \frac{q_2}{r_2^2} \vec{r}_2 + \dots + \frac{q_n}{r_n^2} \vec{r}_n \\ &= \sum_{i=1}^n \frac{q_i}{r_i^2} \vec{r}_i, \end{aligned}$$

即电感强度也遵从叠加原理。

可见，在无限大均匀电介质中，电感强度和电介质的性质无关，电感强度只和构成这带电系统的电荷分布有关。

上面我们仅讨论了无限大均匀电介质中的情况。应该指出：按式(5)引入的 D 矢量有一方便之处，同样的电荷分布，在不同的电介质中，产生在同一点的场强 \vec{E} 是不相等的，但同一点的电感强度 \vec{D} 却是相等的。当然，在有限大或非均匀电介质的情形，问题要复杂一些，结论也不象无限大均匀电介质时那样简单，但是进一步的研究仍然表明，与场强同时引用电感强度 \vec{D} 是十分必要的。为此，须先介绍一下电通量和奥斯特洛格拉斯基—高斯定理如下：

电通量 通过电场中任何一个给定面的电感线的总数，称为通过该面的电通量，用 Φ_e 表示。按照电感线的作法，可见匀强电感场中电感线是一系列均匀分布的平行直线(图2a)。想象一个面积为 S 而且和 D 的方向垂直的平面，则通过该平面的电感线总数或电通量为

$$\Phi_e = D \cdot S \quad (6)$$

如果平面的法线 n 和 D 的方向成 θ 角(图2b)，则通过该面的电通量为

$$\Phi_e = D \cos \theta \cdot S$$

(圖2) 电通量的量度

即电感强度 D 在給定面積 S 上的法向分量和这面積的乘積。可見通过給定面積的电通量可正可負，它决定于这个面積法綫 n 和电感 D 間的夾角 θ 。

在不均匀的电場中，可想象地作一个面積元 ΔS ，使电感 D 在这面積上是均匀的。設 ΔS 的法綫 n 与該处的电感 D 成 θ 角(圖2c)，則通过这个面積元 ΔS 的电通量为

$$\Delta\Phi_0 = D\cos\theta \cdot \Delta S$$

通过某一个有限面積上的电通量，可用面積分求得：

$$\Phi_0 = \int_S D\cos\theta dS. \quad (7)$$

如果所考慮的面積是一个封閉曲面，通常取向外的法綫为正方向。因此，穿出这封閉面的电通量是正的，而穿進是負的。所以当 $\Phi=0$ 时，这就意味着穿進穿出的电通量为数相等，并不一定表示这封閉面上的电感强度处处为零。由上可知，电通量是个标量，适用代数和法則。

奥斯特洛格拉斯基—高斯定理 电感强度 D 与產生电場的电荷相联系，因此，由电荷出發的电感綫总数便与电荷的大小有关。現在我們要研究，应当有多少条电感綫从一个點电荷出發，才能滿足前述电感綫作法的規定。在解决这个問題上，就可以導出有关电場性質的重要原理——奥斯特洛格拉斯基(Остроградский)-高斯(Gauss)定理。

設在无限大的均匀电介質中，一點电荷上的电量 q ，取點电荷所在點为中心， r 为半徑，作一球面以包圍这點电荷。这样，球面上任何一點的电感 D 的量值为 $\frac{q}{r^2}$ 。这就是說，點电荷 q 所產生的电場具有球面对称性，所以电感綫必然是以 q 为中心，对称配置地沿着矢徑方向(圖3)。按照規定，通过球面上每一个單位面積的电感綫等于 $\frac{q}{r^2}$ ，所以通过整个球面的电通量 Φ_0 应当等于 $\frac{q}{r^2}$ 和球面面積 $4\pi r^2$ 的乘積；

$$\Phi_0 = \left(\frac{q}{r^2}\right) 4\pi r^2 = 4\pi q. \quad (8)$$

因为电介質中除了 q 外，別无其它电荷，而且所得結果与球面半徑无关，所以 $\Phi_0 = 4\pi q$ 也等于从电荷 q 開始的电感綫的条数。如果 q 是正的，电感綫从 q 發散；如果 q 是負的，电感綫向 q 会聚。由此可見，要滿足电感綫的画法的規定，应由每一电荷 q 作 $4\pi q$ 条电感綫，从正 q 發散或向負 q 会聚。

(圖3) 从點电荷出發的电感綫

把上述結論推广，就得到奥斯特洛格拉斯基—高斯定理：通过一个任意封閉曲面的电通

量，等于为该面所包围的诸电荷的代数和的 4π 倍，即

$$\Phi_0 = 4\pi \Sigma q; \quad (9)$$

如果封闭面内电荷的分布是连续的，则可用积分表示：

$$\Phi_0 = 4\pi \int dq \quad (10)$$

奥—高定理的应用 在进一步研究电场时，奥—高定理极为重要。现在应用此定理计算某些电场的电感强度和电场强度，比直接从场强定义出发来计算要方便多了。下面是几个例子。

1. 均匀带电球面的电场 设有一球半径为 R ，在表面上均匀带电，总电荷为 q 。如图4所示。现在要计算球内和球外任意点 P_1 及 P_2 处的电感强度。通过 p_1 点作一半径为 r_1 的辅助球面 S_1 ($r_1 < R$)，其面积等于 $4\pi r_1^2$ 。由于对称的关系，球面上各点的电感强度应有相同的数值，设为 D_1 。所以通过该面的电通量为 $4\pi r_1^2 D_1$ 。但该面所包围的电荷为零，于是按照奥—高定理得

$$4\pi r_1^2 D_1 = 4\pi \cdot 0,$$

即 $D_1 = 0$ ，或 $E_1 = 0$ 。

由此可见，球面上的电荷，在球内不产生电场，球内任何处的场强均为零。

(图4) 决定均匀带电球面的电场

现在来研究球外 P_2 处的情况，同理通过 p_2 点作一辅助球面 S_2 ($r_2 > R$)，其面积为 $4\pi r_2^2$ 。设该面上电感强度的数值为 D_2 ，则通过该面的电通量为 $4\pi r_2^2 D_2$ ，而该面所包围的电荷为 q 。故按奥—高定理得

$$4\pi r_2^2 D_2 = 4\pi q,$$

即 $D_2 = \frac{q}{r_2^2}$ ，... $E_2 = \frac{q}{\epsilon r_2^2}$

我们得到了与点电荷场强完全相同的公式。这样表面均匀带电的球在球外面的作用，就好像球上所有的电荷完全集中在球心一样。场强与距离的关系可用图5表示之。

如果是一个半径为 R 的均匀带电的介质球体，介电系数为 ϵ_1 ，则在球外的 P_2 点，用相同的方法可以求得，

(图5) 带电球面的场强

$$E_2 = \frac{q}{\epsilon r_2^2},$$

式中 ϵ_2 是球外介质的介电系数。

在球内的 P_1 点，则得

$$4\pi r_1^2 D_1 = 4\pi \cdot \frac{q}{\frac{4}{3} \pi R^3} \cdot \frac{4}{3} \pi r_1^3,$$

简化得 $D_1 = \frac{q}{R^3} r_1,$

即

$$E_1 = \frac{q}{\epsilon_1 R^3} r_1$$

2. “无限大”均匀带电平面电场 每单位面积上的电荷为 σ ,称为电荷面密度。設有一很大的均匀带电平面,即此面的 σ 处处相等。在靠近平面的中部而且离开平面的距离比平面的綫度小得多的那些部分,由于对称关系,电场是均匀的而且垂直于平面(圖6)。局限在上述部分的电场,称为“无限大”均匀带电平面的电场。作一封闭圆柱面,经过平面的中部,軸綫和平面正交,底面积为 S 。通过圆柱的侧面部分的电通量为零。通过兩底面的电感綫都和底面正交,而且都是向外的(設 σ 为正值)。令 D 为兩底面上电感强度,则通过兩底面的电通量为 $SD + SD$ 。而柱面所包围的电荷为 σS ,按奥—高定理得

$$DS + SD = 4\pi\sigma \cdot S$$

(圖6) “无限大”均匀带电平面的电场

所以

$$D = 2\pi\sigma, \text{ 或 } E = \frac{2\pi\sigma}{\epsilon}$$

可見在“无限大”均匀带电平面的电场中,各点的场强和离开平面的距离无关。

3. “无限大”均匀带电平行板的电场 設有兩平行平板A和B,板面的綫度比兩板間的距离要大得多。平板A均匀地带正电,平板B均匀地带负电,电荷面密度分别为 $+\sigma$ 和 $-\sigma$ (圖7)。兩平板所產生的場强是每一平板单独產生的場强 E_A 和 E_B 的矢量和:

$$E = E_A + E_B$$

由于对称性,可見除兩板边缘的附近外, E_A 和 E_B 是“无限大”均匀带电平面的場强,量值已知为 $\frac{2\pi\sigma}{\epsilon}$ 。在兩平板的中間, E_A 和 E_B 都从A板指向B板,所以总的場强为

$$E = E_A + E_B = \frac{4\pi\sigma}{\epsilon}$$

或

$$D = 4\pi\sigma$$

在兩平板的外側, E_A 和 E_B 是反方向的,所以总的場强为,

$$E = E_A - E_B = 0,$$

或

$$D = 0。$$

由此可見,均匀地分別帶着正负电的兩平行平板,不論板的性質如何,在板面的綫度远大于兩板間的距离时,除了边缘附近外,电场全部集中于兩板之間而且是均匀电场。

从以上这些例子,我們可以看到一个共同的特點:在应用奥—高定理时所作的封闭曲面上,場强是均匀的,或者是对称分布的。有了这个特點,才能很簡單地应用这个定理來計算場强。

§ 1-2 电 位

在解决某些静电学问题时，用即将介绍的标量—电位比用矢量—电场强度或电感强度还要方便些。在介绍电位前须先介绍一下静电场力所做的功和电位能。

静电场力所做的功 设位于固定点O的电荷q产生电场，试验电荷 q_0 从场中a点过任意路径acb而到达b点（图8）。在路径中任一点c的附近，取位移元 $d\mathbf{l}$ ，设在这位移元上的场强为 \mathbf{E} ，则 q_0 所受之电力为 $\mathbf{F} = q_0 \mathbf{E}$ ，根据功的定义， \mathbf{F} 力在位移 $d\mathbf{l}$ 上所做的功 dA 为

$$dA = F \cos \theta dl = q_0 E dl \cos \theta,$$

式中 θ 是 \mathbf{E} 的方向和 $d\mathbf{l}$ 的方向之间的夹角。设从O到 $d\mathbf{l}$ 两端的距离分别是 r 和 r' ，并从c点作 cc' 垂直于 r' ，由图可见 $dl \cos \theta = r' - r = dr$ ， dr 是 r 和 r' 之差，由此得：

$$dA = q_0 E dr,$$

但
$$\mathbf{E} = \frac{q}{\epsilon r^2},$$

式中 ϵ 为所考虑的电介质的介电系数。

所以
$$dA = \frac{q_0 q}{\epsilon r^2} dr$$

当电荷 q_0 从a到b，电力所做的功 A_{ab} 可由积分法求得

$$A_{ab} = \int_a^b dA = \int_a^b \frac{q_0 q}{\epsilon r^2} dr = \frac{q_0 q}{\epsilon} \left(\frac{1}{r_a} - \frac{1}{r_b} \right) \quad (11)$$

式中 r_a 与 r_b 分别为从电荷q到试验电荷 q_0 的起点和终点的距离。由此可见，点电荷场中电场力所做的功，与路径无关，仅与试验电荷 q_0 的起点及终点位置有关，并与试验电荷 q_0 的大小成正比。

任何静电场都可看作是由点电荷系所产生的，而试验电荷在这场中移动时，电场力所做的功等于各点电荷的电场力所做之功的代数和，而每一点电荷的电场力所做的功与路径无关，那末它们的代数和也与路径的形状无关，所以得出结论：试验电荷在任何静电场中移动时，电场力所作的功，仅与这试验电荷的大小以及起点和终点在电场中的位置有关，而与路径的形状无关；并且经过一个任意的闭合回路时，电场力所作总功为零。

电位能 据上所述，电荷在静电场中移动时，电场力所作的功，仅与起点和终点的位置有关，而与路径形状无关。这种电场力作功的特征，和重力做功完全相同。因此我们可以仿效引入重力位能那样，认为电荷在电场中一定位置时具有一定的位能，称为**电位能**，而电场力所作的功正是这位能改变的量度。设以 W_a 和 W_b 分别表示试验电荷 q_0 在起点a和终点b时的电位能， A_{ab} 为电场力所作的功，则

$$W_a - W_b = A_{ab} = q_0 \int_a^b \mathbf{E} \cos \theta dl.$$

这式只决定电场中试验电荷位置改变时电位能的改变，并不能决定试验电荷在电场中某一点的电位能。

(图8)

电力所作的功与路径无关的证明用图

設終點b在无限远处，則有

$$W_a = A_{a\infty} + W_\infty = q_0 \int_a^\infty E \cos\theta dl + W_\infty,$$

式中 W_∞ 为試驗电荷在電場中无限远处时的电位能。通常就取这电位能 W_∞ 作为量度电位能的起點，亦即令 $W_\infty = 0$ 。按照这个規定，則有：

$$W_a = A_{a\infty} = q_0 \int_a^\infty E \cos\theta dl$$

即电荷 q_0 在電場中任一點a的电位能 W_a 在数值上等于 q_0 从該點a移到无穷远时電場力所作之功 $A_{a\infty}$ 。

由于電場力所作之功 $A_{a\infty}$ 有正（例如斥力場中）有負（例如引力場中），电位能 w_a 也有正有負。

在點电荷所產生的電場中，則有：

$$W_a = A_{a\infty} = \frac{q_0 q}{\epsilon r_a}, \quad W_b = A_{b\infty} = \frac{q_0 q}{\epsilon r_b};$$

同时

$$W_a - W_b = q_0 \left(\frac{q}{\epsilon r_b} - \frac{q}{\epsilon r_a} \right).$$

电位 在任何情况下，电荷 q_0 在電場中移动时，電場力所做的功都正比于电荷 q_0 的大小，所以比值 $\frac{W_a}{q_0} = \int_a^\infty E \cos\theta dl$ 僅与電場中給定點a的位置有关而与电荷 q_0 无关，是一个表征電場中給定點的性質的物理量，称为电位，以 U_a 表示a點的电位，得：

$$U_a = \frac{W_a}{q_0} = \int_a^\infty E \cos\theta dl \quad (12)$$

令上式中 $q_0 = +1$ ，則 $U_a = W_a$ ，可見電場中某點的电位在数值上等于放在該點的單位正电荷的电位能，亦等于單位正电荷从該點經過任意的路徑到无限远时電場力所做的功。

在靜电系單位制中，如果在電場中某點上1[靜电系电位單位]电荷的电位能是1[尔格]，該點的电位就被定为1[靜电系电位單位]（簡称为e.s.u.v.）。在实用制中，如果電場中某點上1[庫侖]电荷的电位能是1[焦耳]，該點的电位称为1[伏特]，在数值上，这两个單位的关系为

$$\begin{aligned} 1[\text{伏特}] &= \frac{1[\text{焦耳}]}{1[\text{庫侖}]} = \frac{10^7[\text{尔格}]}{3 \times 10^9[\text{靜电系电荷單位}]} \\ &= \frac{1}{300}[\text{靜电系电位單位}] \end{aligned}$$

按照电位定义，

$$A_{ab} = q_0(U_a - U_b),$$

即在靜電場中，电荷从一點移到另一點时，電場力所做的功等于电荷与这两點的电位差的乘積。这是电学中的一个基本公式。

在实际应用中，需要的是兩點間的电位差而不是某一點的电位，所以常取地球的电位为量度电位的起點，即取地球的电位为零。显然，这样的規定并不影响計算結果。

电位的計算 1. 點电荷電場中的电位 設有點电荷 q 在无限大均匀电介質中產生一个電場，我們計算電場中任一點P处的电位。設P到q點的距离为 r ，电介質的介电系数为 ϵ ，由电位的定义式(12)得：

$$U = \frac{A_{p\infty}}{q_0} = \frac{q}{\epsilon r}$$

由此可見，如果 q 是正的，电位也是正的，离开电荷愈远，电位愈低，在无穷远处为零，这是最小值。如果 q 是負的，則电位也是負的，离开电荷愈远，电位愈高，在无穷远处为零，这是最大值。

均匀帶电球面在球面外所產生的电场，和电荷集中于球心而視為點电荷所產生的电场一样，从而上述公式和結論适用于球面外电场中电位的計算，式中 r 应是球心到 P 点的距离。

2. 點电荷系的电场中的电位 如果电场是由 q_1, q_2, \dots 等若干點电荷產生的，則因任何一段路程上合力所做的功等于各分力所做功的代数和，所以：

$$U = \sum_{i=1}^n \frac{q_i}{\epsilon r_i}$$

式中 r_i 为 P 点离开相应的點电荷 q_i 的距离。

如果產生电场的电荷是連續分布的，則上式中的总和可以積分代之。設 dq 为电荷分布中的任一电荷元， r 为 dq 到給定點 P 的距离，則該点的电位为

$$U = \int \frac{dq}{\epsilon r}$$

§ 1-3 电位与場强的关系

下面我們進一步研究場强 E 与电位 U 之間的关系，可使我們对电场性質有更深入和統一的認識。

在圖9中，設(1)与(2)为电场中两个相鄰的等位面，其間的电位是逐漸遞減的($U_a > U_b$)，可以得到：

$$A_{ab} = q_a(U_a - U_b) = q_0 \int_a^b E \cos \theta dl$$

即

$$U_a - U_b = \int_a^b E \cos \theta dl$$

这表示电场中兩點間的电位差可用場强的綫積分表示之，这是电位与場强的積分关系。其次，还有一个微分的关系。

在上圖中，(1)与(2)两个等位面非常靠近，其上 a, b 兩點亦非常接近，此处場强 E 可視為均匀不变，將試驗电荷由 a 移位至 b ，則有：

$$U_a - U_b = E \cos \theta dl$$

式中 dl 是 ab 間位移 dl 的大小， θ 是 E 与 dl 間的夾角，

$$E = \frac{U_a - U_b}{dl \cos \theta} = - \frac{U_b - U_a}{(dl)_E} = - \frac{dU}{(dl)_E}$$

式中 $dU = U_b - U_a$ 是沿 dl 方向的微小电位增量，而 $(dl)_E$ 为电力綫方向上(亦即等位面的法綫方向上)由等位面(1)到(2)的位移。

在电学中我們常將 $\frac{dU}{(dl)_E}$ 称为电位梯度。它的定义是：电位在变化最大的方向上每單位長度的增量，电位梯度的方向和場强相反，而大小相等。所以上式亦可表述如下：电场强度

(圖 9) 場强与电位关系的証明用圖

等于电位梯度的負值。

上式亦可写成

$$E \cos \theta = \frac{dU}{dl},$$

或

$$E_1 = E \cos \theta = - \frac{dU}{(dl)_E} \cos \theta = - \frac{dU}{dl}.$$

此式說明：給定點的場強沿某一方向的分量 E_1 ，等于在該點附近，沿着这个方向單位長度上电位增量的負值。也可以說，沿某一方向的場強分量 E_1 ，等于电位梯度矢量在这个方向上的分量的負值。負号的意思是說，場強方向是指向电位降落的方向的。由此可知只有在电位不变的空間內，場強为零，电位为零处，場強不一定为零，場強为零处，电位也不一定为零。上式用微分符号，則可以写成

$$E_1 = - \frac{\partial U}{\partial l}. \quad (13)$$

如果把 x, y 和 z 的方向，分別地取作 l 的方向，我們就可得到場強沿着这三个方向的分量为：

$$E_x = - \frac{\partial U}{\partial x}; \quad E_y = - \frac{\partial U}{\partial y}; \quad E_z = - \frac{\partial U}{\partial z}.$$

这一关系式在实际应用上的重要性，在于 U 是标量，容易計算，而 U 的微分又是簡單的运算，所以先求 U 再微分求 E 的方法往往比直接求 E 更为方便。

【例題】兩平行金屬板的电位各为 U_a 及 U_b ($U_a < U_b$) 距离为 d ，求兩板中間的場強。

【解】已知兩板間为匀强电场，电場的指向垂直地从高电位板到低电位板，則

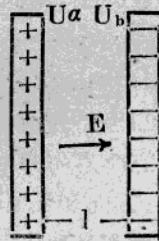
$$E dl = -dU,$$

$$\int_0^d E dl = - \int_{U_a}^{U_b} dU,$$

$$\therefore E_1 d = -(U_b - U_a);$$

故

$$E_1 = \frac{U_a - U_b}{d}.$$



(圖10) 平行金屬板間的場強和电位差的关系

E_1 是正的，表示它的指向和我們的取向相同，即由高电位到低电位。

§ 1-4 电介質 电极化现象 表面电荷

在叙述庫侖定律和电場强度时，我們已經簡略地提出电介質的影响。这里，将根据电介質的电結構特征，更深入地分析这些現象。

導体的特征是具有自由电子。因此，当电場中的导体达到平衡状态时，导体内部的場強为零，这是导体在电場中所表現的最主要的特性。电介質就不同了，它是非导体。構成电介質的分子在电結構方面的特征，是电子与原子核之間的力相当大，以致彼此互相束縛着，即使在外电場的作用下，这些电荷也只能在微观范圍內移动，例如稍稍移动或改变方向。在靜电平衡条件下，电介質的内部可以長期存在着电場，这也是和導体的基本区别。

气体包括水蒸汽和金属的蒸汽，在平常状态下是电介质。多数液体如纯粹的水及很多有机液体，都是电介质。多数晶体和非晶体，如金刚石、硫黄、石英、玻璃、橡皮等等，也都是电介质。

每个分子都是由带负电的电子和带正电的原子核所组成。一般地说，正、负电荷在分子中都不集中于一处。但在离开分子的距离比分子的线度大得多的地方，分子中全部负电荷对于这些地方的影响将和一个单独的负电荷等效。这个等效的单独负电荷的位置，可能随时间而改变，它对时间的平均位置称为这个分子的负电荷的重心。例如一个电子作匀速圆周运动时，它的重心就是这个圆的中心。同样，每个分子的全部正电荷也有一个重心。每个分子的正、负电荷的重心可能不在同一点上，这样一对距离很近的异号等值点电荷所组成的系统叫做分子的等效电偶极子。电偶极子所产生的电场，完全由它的电矩 $p=ql$ 所决定。

电介质有两种，在外电场中所受的影响是不一样的，分述如下：

无极分子的电极化现象 有一类电介质，例如 H_2 ， N_2 ， CH_4 等气体，它们的分子在沒有外电场作用时，每个分子的正电荷重心和负电荷重心重合，因此分子的电矩为零，对外界不产生电场，这类分子称为无极分子。在外电场的作用下，分子中正、负电荷的重心产生了相对位移，位移的大小和场强成正比。因此，这类分子可以理解为由弹性力联系着的两个异号电荷，和它等效的电偶极子称为弹性偶极子。

以最简单的氢原子为例，在沒有外电场时，按照旧的原子结构理论，氢原子中的电子绕着带正电的原子核作圆周运动，如图11a所示。此时，在轨道外圈产生的电场，就时间平均说，和静止在轨道中心的电子所产生的电场相等。同时，原子核的重心也在这个轨道中心上，所以这个原子，就时间平均说，对外界不产生电场，是无极分子。图11b表示在外来电场 E 的作用下，电子和原子核受到了等值而反向的作用力 f_1 和 f_2 。这时，电子的轨道变为椭圆，它的重心，在椭圆的中心 O 点，和原子核的重心有了相对位移（因为电子和原子核间有很强的相互束缚力，所以电子没有被外电场 E 拉出原子之外，这和弹簧受拉力而伸长的情形相似）。这样的原子，在它所产生的电场和它在外电场中所受的力两方面，都和一电偶极子等效，它的电矩为 $P=ql$ ，方向和外电场的方向一致。而当外电场撤去时，正、负电荷的重心复行重合，在原子的外圈不复产生电场。

构造比较复杂的分子，只要是属于无极分子的类型，其情况也是如此。在外电场中，每个分子都可用一个等效的电矩为 P 的电偶极子来表示它， P 的方向和外电场的方向一致。

对电介质的整体来说，由于每个分子在外电场中都成为电偶极子，其方向都沿着外电场的方向，所以和外电场垂直的电介质的两个表面上，分别出现了正电荷和负电荷。这一现象，叫做电极化现象。所产生的电荷，不能离开电介质，所以称为束缚电荷（图12）。外电场愈强，每个分子的正、负电荷重心距离也愈大，电介质两表面所出现的束缚电荷也愈多，就是说电极化程度也愈大。

(圖11)

(圖12) 无极分子的極化

有極分子的電極化現象 另有一類電介質，例如 SO_2 , H_2S , NH_3 , 有機酸等等，它們的分子在沒有外電場作用時，每個分子的正電荷重心原來就和負電荷重心分開的，而且它們間的距離是一定的，不受外電場的作用而改變。因此，這類分子叫做**有極分子**，和它等效的電偶極子叫做**剛性偶極子**。但在沒有外電場作用時，由於分子不規則的熱運動，分子電矩的方向是雜亂無章的。因此，無論是整個電介質或者是其中的一部分都是中性的，對外不產生電場，如圖(13a)所示。而當電介質放在外電場中，每個分子都受到力矩的作用(圖13b)，使分子電矩轉向外電場的方向，但因分子熱運動的緣故，這種轉向也是微小的，並不能使所有的分子都很齊整的依照外電場的排列起來(圖13c)。外電場愈強，分子偶極子的排列也愈整齊。對整個電介質來說，垂直於方向電場方向的兩面也產生了束縛電荷，這就是有極分子的電極化現象。假使撤去外電場，由於分子熱運動的緣故，它們的排列又變為雜亂無章，電介質成為中性。

(圖13) 有極分子的極化

以上是從微觀的分子現象出發，說明了兩類不同電介質的電極化原因，它們的微觀過程雖有不同，而宏觀結果，即產生束縛電荷，却是一樣的。因此，在下面討論怎樣從宏觀的意義上來表征電介質的極化程度時，就沒有需要把它們區別開來。

電極化矢量 在電介質內任取體積元 ΔV 。如果沒有外電場時，在這個體積元內所有分子電矩的矢量和 $\Sigma \vec{P}$ 將等於零。但是在外電場的影響下，由於電介質的極化， $\Sigma \vec{P}$ 將不等於零而有一定的量值。我們取單位體積內的電矩矢量和，即

$$\vec{P} = \frac{\Sigma \vec{P}}{\Delta V} \quad (14)$$

作為量度電介質極化程度的基本物理量，稱為電極化強度或**P**矢量。

不論在那一類電介質中，如果我們考慮一個微小區域內的電極化程度，如圖13所示的A，那麼在這區域內的分子，將不僅受到外電場 \vec{E}_0 的影響，同時也受到除了它們自己以外的介質內束縛電荷所產生的電場 \vec{E}' 的影響，就是要受到在A處的合電場 \vec{E} 的影響。其關係如下：

(圖14) \vec{P} 和 \vec{E} 的關係

$$\vec{E} = \vec{E}_0 + \vec{E}' \quad (15)$$

因此，我們假設電極化強度 \vec{P} 是和電介質內的合場強 \vec{E} 正比，

$$\vec{P} = \chi \vec{E} \quad (16)$$

χ 是和電介質性質有關的比例係數，稱為電極化率。

電極化率、介電係數和表面電荷的關係 現以兩塊“無限大”平行板間介質的極化來說明它們之間的關係。設兩平板面積均為 S ，相隔距離為 d ，板上自由電荷的面密度為 σ ，又設其間介質均勻極化，靠近平板的介質面上出現束縛電荷，其面密度為 σ' 如圖14所示。表面上的自由電荷和束縛電荷均叫做表面電荷、因為介質均勻極化，故有

$$\vec{P} = \frac{(\sum \vec{P}) \Delta v}{\Delta v} = \frac{(\sum \vec{P}) v}{V}$$

式中 V 為兩板間的空間 Sd 。

$$\text{而} \quad |\sum \vec{P}| = (\sigma' S) d$$

$$\text{所以} \quad \vec{P} = \frac{(\sigma' S) d}{Sd} = \sigma' \quad (17)$$

這式表明介質的極化程度。也可用介質上的束縛電荷面密度 σ' 來量度。

兩板間的電場 \vec{E} 可以看成是由兩部分組成的：第一、自由電荷所產生的電場 \vec{E}_1 ， $E_1 = 4\pi\sigma$ ；第二、介質面上束縛電荷所產生的電場 \vec{E}_2 ， $E_2 = 4\pi\sigma'$ 。 \vec{E}_1 和 \vec{E}_2 的方向相反，因此

$$\vec{E} = 4\pi\sigma - 4\pi\sigma'$$

$$\text{因} \quad \vec{P} = \sigma' = \chi \vec{E} \quad (18)$$

$$\text{故} \quad (1 + 4\pi\chi) \vec{E} = 4\pi\sigma$$

再由奧—高定理可得

$$\vec{D} = \epsilon \vec{E} = 4\pi\sigma$$

並比較得，

$$\epsilon = 1 + 4\pi\chi \quad (19)$$

這個公式給出介電係數與電極化率間的普遍關係式。上式兩端各乘以 \vec{E} ，又得出描述電場的三個矢量 \vec{D} 、 \vec{E} 和 \vec{P} 之間的普遍關係式：

$$\vec{D} = \vec{E} + 4\pi\vec{P} \quad (20)$$

將 $\vec{E} = 4\pi\sigma/\epsilon$ 代入 $\vec{E} = 4\pi\sigma - 4\pi\sigma'$ 中，我們又得到兩種表面電荷（自由的和束縛的）的面密度與介電係數關係

$$\sigma' = \left(1 - \frac{1}{\epsilon}\right)\sigma$$

這個式子僅在我們這個特例中適用、並不是普遍關係式。

§ 1-5 壓電現象和焦電現象

變電體 在一般電介質中，在相當大的範圍內，介電係數 ϵ 之值和場強無關，亦即存在着電極化程度與場強成正比的簡單關係。可是在有些物質中，電極化現象特殊，介電係數不

(圖15) \vec{D} 、 \vec{E} 、 \vec{P} 關係式證明用圖

是恒量，是隨場強變化的，並且在撤去外電場後，電介質並不成為中性，而有剩餘極化，這一類物體稱為變電體。其中以酒石酸鉀鈉($\text{NaKC}_4\text{H}_4\text{O}_6 \cdot 4\text{H}_2\text{O}$)為最特出，它的電極化效應非常巨大，以致它的介電系數 ϵ 達到數千以上的數值。在電工上變電體可以用作各種不同需要的絕緣材料，特別是用來作電容器。

壓電現象 對於石英，电气石，酒石酸鉀鈉等離子性的晶體，由於結晶點陣的有規則分布，當晶體發生機械變形時，例如拉伸或壓縮，也會產生電極化現象，稱為**壓電現象**。石英在 $1000[\text{克}][\text{厘米}]^{-2}$ 的壓強下，相對兩個面上出現正負電荷，產生約 $0.5[\text{伏}]$ 的電位差。

壓電現象還有逆現象，即晶體帶電時或在電場中時，晶體的大小發生變化，也就是晶體有了伸長或縮短，這稱為**電致伸縮**。

在現代技術上，以上兩種現象都有廣泛應用。例如在兩平行金屬板間放置石英片，再在金屬板上加一頻率與石英片的固有頻率相同的交變電壓，則石英片將作強烈的高頻的振動，在周圍介質中產生高于聲頻的波動，產生了超聲波。在金屬焊接，鑽孔，材料檢驗，水中探測等方面有廣泛的應用。在無線電工程中，壓電石英常用來穩定電振盪的頻率。一般地說，壓電現象可用來變機械振動為電振盪或變電振盪為機械振動。

焦電現象 當溫度改變時电气石和石英等晶體表面會帶電。把电气石晶體加熱并把粉碎的硫磺和鉛丹粉末撒在上面，即易証實這一點。原因是晶體熱膨脹在不同方向上不一樣。加熱時晶體發生形變，它的粒子偶極矩改變了，因此在其表面上出現電荷。其原因和壓電現象一樣。因兩個現象有密切關係。熱膨脹時出現的電荷與伸長時出現的電荷的符號相同。冷卻時出現的電荷相當於壓縮形變時出現的電荷。

在這種情形中，其反現象也是大家所知道的。即把晶體放入電場中時，它的溫度也略為改變。

§1-6 電 容

現在我們來研究導體的一個很重要的物理量——電容。

首先研究真空中一個“孤立”導體的電容，即其它物體對它的影響可以略去的導體的電容，我們知道：此導體所帶的電量 q 和它所對應的電位 U 之比，是一個和導體所帶的電荷多少無關的量，這個量叫做“孤立”導體的電容 C ：

$$C = \frac{q}{U} \quad (21)$$

導體的電容，表征導體所具有的性質，它與組成導體的材料沒有關係，而與導體的大小和幾何形狀有關，它在數值上等於當這導體的電位為一單位時所具有的量。

其次研究非孤立導體的電容，如附近有其它導體和電介質存在的導體的電容。

如附近有其它導體存在，由於靜電感應的關係，在其他導體上感應有大小相等的正負電荷，使原導體的電位降低，從而電容增大了。

如附近有電介質存在，導體附近的電場強度減小了，電位降低了，從而導體的電容也增大了。

故欲得到大的電容，得用導體組並引入電介質。

例一 球體的電容，設球體帶有電荷 q ，球半徑為 r ，則球體的電位 $U = q/\epsilon r$ 。 ϵ 為介電系數。

从而球体的电容 C 为

$$C = \frac{q}{U} = \frac{q}{q/\epsilon r} = \epsilon r$$

在真空中 $C=r$ 。

例二 兩平行金属板电容器，电容器也叫导体組，其电容定义为任一極板电荷的绝对值 q 和兩極板間电位差 $U=U_A-U_B$ 之比：

$$C = \frac{q}{U_A - U_B} \quad (22)$$

“孤立”导体电容的定义和电容器的定义实际上是相同的。因为“孤立”导体可以認為与无穷远处的导体構成电容器，而无穷远处的电位为零，所以“孤立”导体的电位等于它和无穷远处的导体的电位差。

設有兩平行的金属極板，兩板間充滿了介电系数为 ϵ 的电介質，每板的面積为 S ，兩板內表面之間的距离为 d ，并使板面的綫度远大于兩板內表面之間的距离(圖16)。令A板帶正电，B板帶等量的負电。現在我們所考慮的板面很大，兩板之間的距离又很小，所以除了边緣部分外，A和B兩板的內表面上可以認為是均匀帶电的，电荷的面密度 σ 和 $-\sigma$ 都是恒量。

根据電場的計算，兩板間匀强電場的場强为

$$E = \frac{4\pi\sigma}{\epsilon} \quad (\text{圖16) 平板电容器兩板之間的電場}$$

兩板之間电位差 $U_A - U_B$ 为

$$U_A - U_B = Ed = \frac{4\pi\sigma}{\epsilon} d = \frac{4\pi q d}{\epsilon S}$$

上式中 $q = \sigma S$ 为任一極板內表面上的电荷总电量。根据电容器电容的定义，得平板电容器的电容 C 为

$$C = \frac{q}{U_A - U_B} = \frac{\epsilon S}{4\pi d} \quad (23)$$

由此可見，只要能够保持兩板間的電場均匀性，平板电容器的电容是一定的。而匀强電場的条件，則决定于板面綫度与兩板間距离之比，所以只要板面綫度远大于兩板距离时，它的电容将在很大的程度上不受外界影响，而且只要使兩板之間的距离足够微小时，就可用較小的板面，获得較大的电容。所以，平板电容器是满足电容器的两个要求的。

§1-7 電場的 能量

任何帶电过程都是电荷之間相对移动过程，所以在任何帶电系統的形成过程中，外力必須克服电荷之間的相互作用力而作功，因而必須有外界能源供給某种形式的能量。到了帶电